

Φ -LIBER — Complemento Analítico v25.2c

Novas Conexões da Bricolagem: Topologia Modular, Incerteza Entrópica e Supermodularidade

Marcus Vinicius Brancaglione

Instituto ReCivitas — Núcleo de Estudos Paraconsistentes (NEPAS)

Versão 25.2c — 16 de Fevereiro de 2026

ⒶRobinRight 3.0 + CC BY-SA 4.0

1. Escopo e Método

Este documento complementa o PrePaper Φ -LIBER v25.2 com conexões identificadas numa pesquisa exploratória (bricolagem de fontes Wikipedia + raciocínio autoral). O critério de inclusão é estritamente **estrutural**: só entra o que conecta formalmente com os 5 termos da Lagrangiana \mathcal{L}_Φ ou com componentes existentes do framework (operador \oplus , reconvolução $E=L \otimes e$, ELEDONTE).

Fora do escopo: dados empíricos de Quatinga Velho, aplicações institucionais ReCivitas, conteúdo que requeira dados de projeto.

Método: Para cada conexão identificada, classificamos em 4 níveis:

- **FORTE** — correspondência matemática direta, operacionalizável
- **INTERESSANTE** — correspondência não-trivial mas não imediatamente operacional
- **FORÇADA** — associação por contiguidade sem ponte formal (descartada)
- **! FLAG** — sinalização de linguagem ou formato que requer correção

2. Conexões Fortes — Integráveis na v25.3

2.1 Geometria Toroidal e T_4

A pesquisa sobre n -torus, orbifolds quociente T^n/S_n , e equivalência enarmônica no Tonnetz reforça diretamente o termo $T_4 = \kappa \cdot x \cdot \ln(x) \cdot \Phi$ da Lagrangiana, identificado no Teste D como entropia de von Neumann de geometria toroidal informacional.

Resultado chave: O Tonnetz musical é toro se e somente se a equivalência enarmônica é assumida ($F\sharp \equiv G\flat$). Esta é uma identificação topológica — exatamente o tipo de operação que T_4 codifica: estados informacionais distintos (notas enarmônicas) são identificados no espaço toroidal, e a entropia $x \cdot \ln(x)$ mede a "perda" dessa identificação.

Novo para o framework: A sequência de degeneração topológica (toro anelar \rightarrow toro cornífero \rightarrow toro fuso \rightarrow esfera duplamente coberta) descreve transições de fase possíveis na topologia da dimensão compacta ε . Se ε diminui (liberdade reduzida), o toro informacional degenera para esfera — colapso da processabilidade informacional.

Integração no v25.3: Adicionar ao §7.3 como exemplo concreto de topologia toroidal com identificações informacionais.

2.2 Cohomologia Hiperkähler \rightarrow Toro (Kurnosov-Soldatenkov-Verbitsky 2019)

Resultado rigoroso (publicado): a cohomologia de qualquer variedade compacta hiperkähler embute na cohomologia de um toro, preservando estrutura de Hodge.

****Implicação para Φ -LIBER:**** Se o espaço de estados criativos admitir estrutura hiperkähler (3 estruturas complexas quaterniônicas), toda a informação cohomológica é capturada por um toro. Isto justifica geometricamente porque o envelope toroidal de T_4 não perde informação essencial — a cohomologia de Hodge é preservada na redução.

****Conexão com instantons:**** Espaços hiperkähler não-compactos surgem como espaços móduli de soluções das equações anti-self-dual de Yang-Mills (instantons). A ligação instantons gravitacionais \rightarrow hiperkähler \rightarrow toro fecha a cadeia $T_3 \rightarrow T_4$: auto-interação gravitacional (T_3 como 1-loop) gera instantons cujo espaço móduli embute em toro informacional (T_4).

****Status:**** Resultado externo rigoroso, aplicação ao framework é conjectural mas bem-motivada. Confiança da conexão: 65%.

2.3 Incerteza Entrópica e T_4

O princípio de incerteza entrópica quântica (Everett 1957, Maassen-Uffink 1988) é mais fundamental que Robertson-Schrödinger:

$$> H(X) + H(P) \geq \log(1/c)$$

onde H é entropia de Shannon. O termo $T_4 = \kappa \cdot x \cdot \ln(x) \cdot \Phi$ tem exatamente a forma funcional da entropia de Shannon ($f(x) = x \cdot \ln(x)$). A incerteza entrópica estabelece T_4 como ****piso informacional**** — limite inferior da incerteza informacional no sistema criativo.

****Resultado operacional:**** A distribuição normal satura a desigualdade entrópica. Portanto, o vácuo do campo Φ -LIBER (estado de mínima incerteza) é gaussiano — consistente com o estado fundamental da teoria quântica de campos padrão.

****Nota sobre Ozawa:**** A desigualdade de Ozawa (3 termos: estatístico, erro sistemático, combinado) sugere que a incerteza total em Φ não é capturada apenas por T_4 mas requer os 3 termos restantes. Isto é coerente com a Lagrangiana de 5 termos.

2.4 Supermodularidade e Complementaridade Criativa

Esta é a conexão nova mais importante deste complemento, porque é ****independente de dados empíricos**** e conecta diretamente a matemática da teoria de jogos com a estrutura da Lagrangiana.

****Supermodularidade:**** Uma função f é supermodular se $\partial^2 f / \partial z_i \partial z_j > 0$ para $i \neq j$. Em teoria de jogos, isto significa complementaridade estratégica: a ação de um jogador aumenta o payoff marginal dos outros.

****Aplicação a Φ -LIBER:**** O potencial $V(\Phi) = -\frac{1}{2}\mu_0^2 e^{\epsilon^2} \Phi^2 + \frac{1}{4}\lambda \Phi^4 + \kappa \cdot x \cdot \ln(x) \cdot \Phi$ é analisável em termos de supermodularidade multi-agente. Se $\epsilon = (\epsilon_1, \epsilon_2, \dots, \epsilon_n)$ para n agentes:

- T_2 com e^{ϵ^2} onde $\epsilon^2 = \sum \epsilon_i^2$ garante $\partial^2 V / \partial \epsilon_i \partial \epsilon_j > 0$ quando os termos cruzados são não-nulos
- Complementaridade estratégica: se agente i recebe mais liberdade (RBI), o payoff marginal de criatividade para agente j aumenta

- Equilíbrio de Nash em jogos supermodulares é obtido via best-response iterada (Topkis, Milgrom-Roberts) — fornece método computacional para encontrar Φ de equilíbrio

****Resultado formal:**** A RBI como mecanismo que gera complementaridade estratégica criativa é formalizável via supermodularidade sem recurso a dados empíricos. A estrutura exponencial $e^{(\varepsilon^2)}$ no termo T_2 é a garantia matemática de que mais liberdade para um aumenta o incentivo de todos.

****Integração no v25.3:**** Nova seção "10.5 Complementaridade Estratégica" com formalização via supermodularidade.

2.5 Funções Theta e Estrutura Modular de ε

****Conjectura nova (especulativa, confiança 40%):**** Se a dimensão compacta ε admite estrutura de toro com parâmetro modular τ , a função de partição da teoria compactificada é expressa via funções theta de Jacobi. A relação $\theta_2 \cdot \theta_3 \cdot \theta_4 = 2\eta^3(\tau)$ conectaria os três "setores" da teoria (cinético-criativo, informacional, gravitacional) via a eta de Dedekind.

O módulo elíptico $k(\tau) = \theta_{10}^2/\theta_{00}^2$ parametrizaria a "forma" do espaço de liberdade. Nos limites:

- $\tau \rightarrow i\infty$: toro degenera \rightarrow transição de fase $\rightarrow \varepsilon < \varepsilon_{crit}$
- $\tau = i$: toro quadrado \rightarrow simetria máxima \rightarrow ponto de máxima criatividade
- $\tau \rightarrow 0$: toro colapsa \rightarrow confinamento total

****Status:**** Conjectura. Não integrar no v25.3 — reservar para paper separado sobre "Estrutura Modular de Φ -LIBER".

3. Conexões Interessantes — Backlog para Exploração

3.1 Períodos de Pisano e Compactificação Discreta

Fibonacci mod n com período $\pi(n)$ como análogo discreto da órbita compactificada. A matriz $Q \in GL_2(\mathbb{Z}_n)$ gera modos KK discretos. Conexão plausível mas sem ponte operacional. ****Backlog.****

3.2 Octonions / G_2 / Spin(8) e a Não-Associatividade de \oplus

O desvio de $\sim 6\%$ na associatividade de \oplus coincide numericamente com a não-associatividade octonionica. Se a álgebra fundamental do framework for octonionica (8D), explicaria naturalmente o $\sim 6\%$. Mas o framework é 5D — prematuro. ****Backlog pós-consolidação 5D.****

3.3 Formas Modulares Mock e Paraconsistência

A estrutura holomorfa + shadow das mock modular forms é análoga à consistência + paraconsistência de \oplus . O operador diferencial que aniquila formas Maass harmônicas pode mapear no operador de "resolução paraconsistente". ****Backlog para paper quase-categorias.****

3.4 AdS/CFT como Dualidade Φ -LIBER/Informacional

Se T_4 fosse uma CFT na fronteira da dimensão ε , teríamos holografia informacional social. Especulativo, coerente com analogia blazar. ****Backlog.****

3.5 Funções de Partição e Modos Criativos

$\theta_4(x) = [\Sigma P(k)x^k]^{-1} \cdot [\Sigma Q(k)x^k]^{-1}$ sugere decomposição de modos Φ em partições regulares/estritas. ****Backlog.****

3.6 Navier-Stokes e Fluxo Criativo

Analogia qualitativa entre turbulência fluida e dinâmica de redes sociais criativas. Equação de continuidade → conservação de carga de liberdade. ****Backlog — conecta com InfoCompostagem (PY-08).****

3.7 LPO/LLPO e Graus de Paraconsistência

A hierarquia LEM → LPO → LLPO mapeia graus de não-constructividade, análogo a graus de paraconsistência (da Costa C_n). ****Backlog para fundamentação de \oplus .****

4. Conexões Descartadas (Honestidade)

4.1 Problema da Bela Adormecida / Raciocínio Antrópico

Background filosófico sem operacionalização na Lagrangiana. SSA vs SIA é relevante para epistemologia da teoria, não para sua estrutura matemática. ****Descartada.****

4.2 Supermanifolds / Grassmann

O campo Φ é escalar bosônico. Sem conteúdo fermiônico no framework. Reservado para eventual "super- Φ -LIBER". ****Descartada por prematuridade.****

5. Sinalizações de Linguagem e Formato (⚠)

F1: "Cohomologia Reconvolutiva Hiperconsistente"

- ****Problema:**** Termo não existe na literatura. Usado extensivamente no anexo.
- ****Recomendação:**** Rotular como "nomenclatura de trabalho (não-padrão)" em todos os documentos formais. Definir formalmente após trabalho em quase-categorias.

F2: "qualiquiral" / "qualialquiral"

- ****Problema:**** Neologismo sem definição. Quiralidade existe; "qualiquiral" não.
- ****Recomendação:**** Se fusão qualia+quiral, definir e justificar. Caso contrário, usar "quiral".

F3: Demarcação prosa filosófica / matemática

- ****Problema:**** Parágrafos do anexo misturam insights filosóficos profundos com conteúdo técnico, tornando impossível para um leitor externo separar os dois.
- ****Recomendação para artefatos científicos:**** Seção "Motivação Filosófica" (epígrafo ou apêndice) separada do corpo formal. A motivação é valiosa — mas precisa de demarcação.

F4: Razão epimérica 9/8

- ****Problema:**** Aparece no contexto de octonions e enarmonia mas sem ponte formal com parâmetros da Lagrangiana.
- ****Recomendação:**** Verificar se alguma razão de parâmetros (μ_0^2/λ_0 , ξ/κ , etc.) produz 9/8. Sem ponte, é associação por contiguidade.

6. Tabela de Impacto no ProtoEditor

| ID | Conexão | Força | Ação | Alvo |

|---|---|---|---|---|

| C1 | Toroidal/Tonnetz → T₄ | FORTE | Integrar §7.3 | v25.3 |

C2	Hiperkähler → toro	FORTE	Integrar §7	v25.3
C3	Theta/Dedekind → modular	FORTE*	Paper separado	futuro
C4	Incerteza entrópica → T_4	FORTE	Integrar §3	v25.3
C5	Supermodularidade → RBI	FORTE	Nova seção §10.5	v25.3
C6	Pisano → compactificação	INTERESSANTE	Backlog	—
C7	Octonions → \oplus (~6%)	INTERESSANTE	Backlog pós-5D	—
C8	Mock modular → \oplus	INTERESSANTE	Backlog quase-cat	—
C9	Bela Adormecida	FORÇADA	Descartada	—
C10	AdS/CFT	INTERESSANTE	Backlog	—
C11	Partições → modos	INTERESSANTE	Backlog	—
C12	LPO/LLPO → \oplus	INTERESSANTE	Backlog	—
C13	Supermanifolds	FORÇADA	Descartada	—
C14	Navier-Stokes	INTERESSANTE	Backlog	—
F1	"Cohomologia Reconvolutiva"	⚠ FLAG	Rotular não-padrão	imediato
F2	"qualiquiral"	⚠ FLAG	Definir ou substituir	imediato
F3	Demarcação prosa/math	⚠ FLAG	Separar seções	imediato
F4	Razão 9/8	⚠ FLAG	Verificar ponte	v25.3


*C3 é FORTE em potencial mas conjectural — confiança 40%.

7. Próximos Passos

1. ****Imediato:**** Resolver F1–F4 no ProtoEditor
2. ****v25.3:**** Integrar C1, C2, C4, C5 no PrePaper (seções 3, 7, 10)
3. ****Separado:**** Paper "Estrutura Modular de Φ -LIBER" (C3, C8, C11)
4. ****Pós-5D:**** Investigar C7 (octonions/6%), C12 (LPO/ \oplus)
5. ****Backlog geral:**** C6, C10, C14

* Φ -LIBER · ProtoEditor · Instituto ReCivitas / NEPAS*

Complemento v25.2c — 16/02/2026

 RobinRight 3.0 + CC BY-SA 4.0